

Lecture 6 241018

- Il pdf delle lezioni puo' essere scaricato da
- http://www.fisgeo.unipg.it/~fiandrin/didattica_fisica/cosmic_rays1819/

Motion in magnetic fields

ii) $\vec{\nabla}_{\parallel} B$

$$\vec{\pi} = \vec{p}_c + \vec{R} *$$

Sviluppo il campo \vec{B} in

serie $\vec{B}(\vec{\pi}) = \vec{B}(\vec{R}) + \vec{p}_c \cdot \vec{\nabla} B(\vec{R})$

Sost. nell'equ.

$$m \ddot{\vec{\pi}} = q \vec{v} \times \vec{B}$$

$$m (\ddot{\vec{R}} + \ddot{\vec{p}}_c) =$$

$$= q (\vec{R} + \vec{p}) \times [\vec{B}(\vec{R}) + \vec{p}_c \cdot \vec{\nabla} \vec{B}(\vec{R})]$$

ed il raggio ist. di curvatura rispetto a C
con la condizione che $|p \cdot \nabla B| \ll 1$

Prendo il val. medio in un periodo di Larmor

Si fa vedere che $\langle p \rangle = \langle \dot{p} \rangle = \langle \ddot{p} \rangle = 0$ \otimes

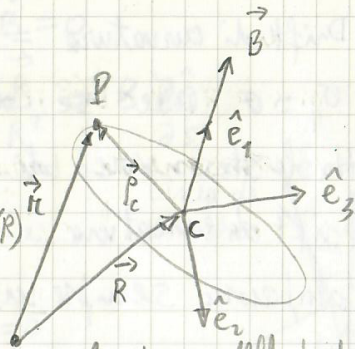
L'unico termine che contribuisce $\neq 0$ e' \otimes vedi avanti

$$\vec{p} \times (\vec{p} \cdot \vec{\nabla}) \vec{B} = \frac{1}{2} \omega p^2 [\hat{e}_2 \times (\hat{e}_3 \cdot \vec{\nabla}) - \hat{e}_3 \times (\hat{e}_2 \cdot \vec{\nabla})] \hat{e}_1 B$$

$$= \frac{1}{2} \omega p^2 [(\hat{e}_3 \cdot \vec{\nabla}) (\hat{e}_2 \times \hat{e}_1) - (\hat{e}_2 \cdot \vec{\nabla}) (\hat{e}_3 \times \hat{e}_1)]$$

$$= \frac{1}{2} \omega p^2 [-(\hat{e}_3 \cdot \vec{\nabla}) \hat{e}_3 - \hat{e}_2 (\hat{e}_2 \cdot \vec{\nabla}) \hat{e}_2]$$

$$= -\frac{1}{2} \omega p^2 q \vec{\nabla} B$$



* la posiz. della prt.

e' espressa in termini della posizione di C

Quindi

$$m \ddot{\vec{R}} = q [\vec{R} \times \vec{B}(\vec{R})] - \frac{1}{2} \omega^2 p_c^2 \vec{\nabla} B + \dots$$

La componente parallela di R

$$m \ddot{\vec{R}} \cdot \hat{e}_1 = q [\vec{R} \times \vec{B}(\vec{R})] \cdot \hat{e}_1 - \frac{1}{2} \omega^2 p_c^2 (\vec{\nabla} B) \cdot \hat{e}_1$$

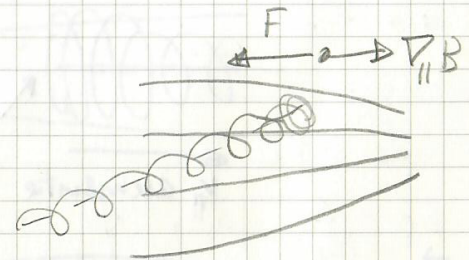
$= 0$ perché \perp $\vec{\nabla}_{\parallel} B$

$$\Rightarrow m \frac{d\dot{v}_{\parallel}}{dt} = -\frac{1}{2} \omega^2 p_c^2 \vec{\nabla}_{\parallel} B$$

$$= -\frac{1}{2} \frac{v_{\perp}^2}{B} (\vec{\nabla}_{\parallel} B)$$

Il centro di guida e' accelerato nel verso opposto al gradiente del campo.

Se si muove verso regioni con campo più forte, verrà respinta*, indipendentemente dal segno della carica o dalla direz. di B_{\perp} .



* più precisamente decelerata

Motion in magnetic fields

Come conseguenza si ha inversione del moto e variazione di angolo di pitch α

In fatti $v^2 = v_{||}^2 + v_{\perp}^2 = \text{cost.}$ perché

l'unica forza che agisce è quella di Lorentz

Quindi $\sin \cos \alpha = \frac{v_{||}}{v} \rightarrow 0$

quando $v_{||} \rightarrow 0$

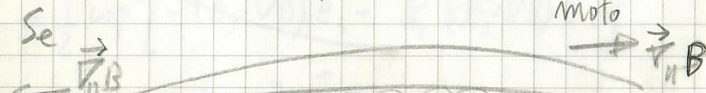
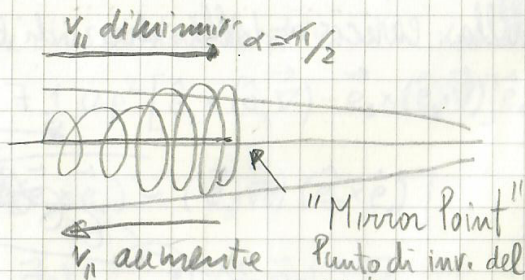
Ma Man mano che la particella avanza nel grad.

$v_{||}$ diminuisce e α aumenta $\alpha = \pi/2$

Quando $v_{||} = 0 \rightarrow v_{\perp} = v$ e la forza

$$F \hat{z} = F = -\frac{1}{2} v^2 \left(\frac{v_{||} B}{B} \right) \max$$

La particella inverte il moto



si può avere una trappola magnetica

Infatti nel piano \perp a B , ~~rispetto al centro~~
nel rif. del centro di guida con assi $\hat{e}_1, \hat{e}_2, \hat{e}_3$

$$\vec{p}_{\perp} = p (\hat{e}_2 \sin \Omega t + \hat{e}_3 \cos \Omega t)$$

e quindi

$$\dot{\vec{p}} = \Omega p (\hat{e}_2 \cos \Omega t - \hat{e}_3 \sin \Omega t) + \sin \Omega t \frac{d(p \hat{e}_2)}{dt} + \cos \Omega t \frac{d(p \hat{e}_3)}{dt}$$

$$\begin{aligned} \ddot{\vec{p}} &= \Omega^2 p (-\hat{e}_2 \sin \Omega t - \hat{e}_3 \cos \Omega t) + \dot{\Omega} p (\hat{e}_2 \cos \Omega t - \hat{e}_3 \sin \Omega t) \\ &+ 2 \Omega \cos \Omega t \frac{d(p \hat{e}_2)}{dt} - 2 \Omega \sin \Omega t \frac{d(p \hat{e}_3)}{dt} + \sin \Omega t \frac{d^2(p \hat{e}_2)}{dt^2} \\ &+ \cos \Omega t \frac{d^2(p \hat{e}_3)}{dt^2} \end{aligned}$$

Dato che $\langle \sin \Omega t \rangle = \langle \cos \Omega t \rangle = 0 \Rightarrow \langle \dot{p} \rangle = \langle \ddot{p} \rangle = 0$

Il termine $\dot{\vec{p}} \times (\vec{p} \cdot \vec{v})$ contemporaneamente con $\sin^2 \Omega t$ e $\cos^2 \Omega t$ da danno $\langle \rangle \neq 0$

Motion in magnetic fields

Pitch angle scattering

Quando il campo presenta irregolarità, gre-
diti con una distribuzione casuale,
può essere rappresentato come

$$B(\vec{r}, t) = \vec{B}_0 + \delta\vec{B}(\vec{r}, t)$$

Camp medio Irregolarità random
in \vec{r} e t

La densità di energia è $u = \frac{B^2}{8\pi}$

Siamo interessati ai valori medi (p. es. nel
tempo) o
su tutta

$$\langle u \rangle = \frac{\langle B^2 \rangle}{8\pi}$$

$$B^2 = \vec{B} \cdot \vec{B} = B_0^2 + \delta B^2 + 2\vec{B}_0 \cdot \delta\vec{B}$$

$$\langle B^2 \rangle = \langle B_0^2 \rangle + \langle \delta B^2 \rangle + 2\vec{B}_0 \cdot \langle \delta\vec{B} \rangle$$

=

= 0

Scriviamo il campo $\delta\vec{B}$ come sovrapposiz.
di onde piane

$$\delta\vec{B} = \frac{1}{(2\pi)^{3/2}} \int d^3k \delta\vec{B}(\vec{k}) e^{i\vec{k} \cdot \vec{r}}$$

Perciò

$$\delta B^2 = \frac{1}{(2\pi)^3} \int d^3k d^3k' \delta\vec{B}(\vec{k}) \delta\vec{B}(\vec{k}') e^{i\vec{r} \cdot (\vec{k} - \vec{k}')}$$

L'energia totale del campo è

$$E_T = \int d^3r u = \frac{1}{8\pi} \int d^3r \delta B^2 =$$

$$= \frac{1}{(2\pi)^3} \int d^3r d^3k d^3k' \frac{\delta B_{\vec{k}} \delta B_{\vec{k}'}}{8\pi} e^{i\vec{r} \cdot (\vec{k} - \vec{k}')}$$

L'integr. su d^3r dà $\delta^3(\vec{k} - \vec{k}') (2\pi)^3$

$$E_T = \frac{1}{8\pi} \int \delta B^2(\vec{k}) d^3k = \frac{1}{8\pi} \int k^2 \delta B^2(\vec{k}) dk d\Omega$$

$w(\vec{k}) = \frac{1}{8\pi} \int k^2 \delta B^2(\vec{k}) d\Omega$ [T^2/m^{-1}]
è la densità spettrale di potenza

Quindi $E_T \delta B^2 = \int w(\vec{k}) dk$

NB: allo vett. \vec{k} è associata $\omega = kV$
con $V = \text{vel. di propag. dell'onda}$

$$\lambda = 2\pi/k$$

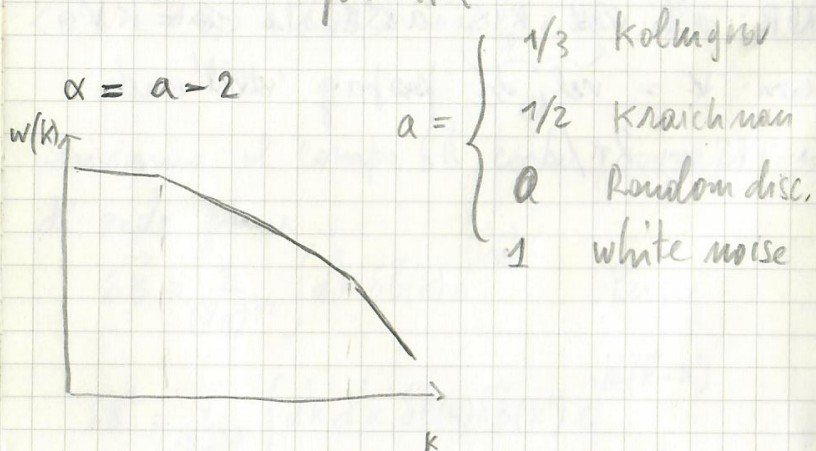
Motion in magnetic fields

$w(k)$ da l'energie associata a ciascuna comp. di Fourier

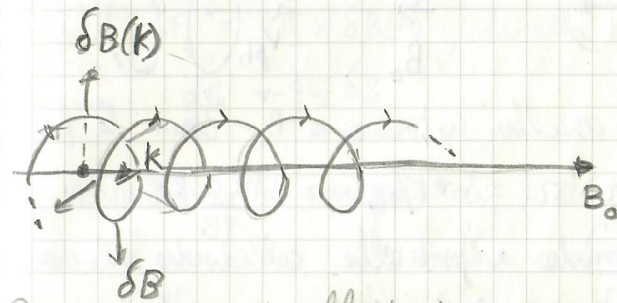
A ciascuna componente k è associata una λ che definisce l'ampiezza della regione spaziale su cui l'onda agisce, i.e. le "scale" tipiche della onda componente

Di solito $w(k) \propto k^\alpha$ con l'indice α che in generale dipende da k .

La distrib. $w(k)$ dipende dal tipo di turbolenza MHD che determinano la distribuzione delle irregolarità



Il campo è quindi rappresentato come la sovrappos. di onde con numero d'onda k + freq. $\omega = \omega(k)$, ciascuna delle quali trasporta una energia $\sim w(k) dk$.

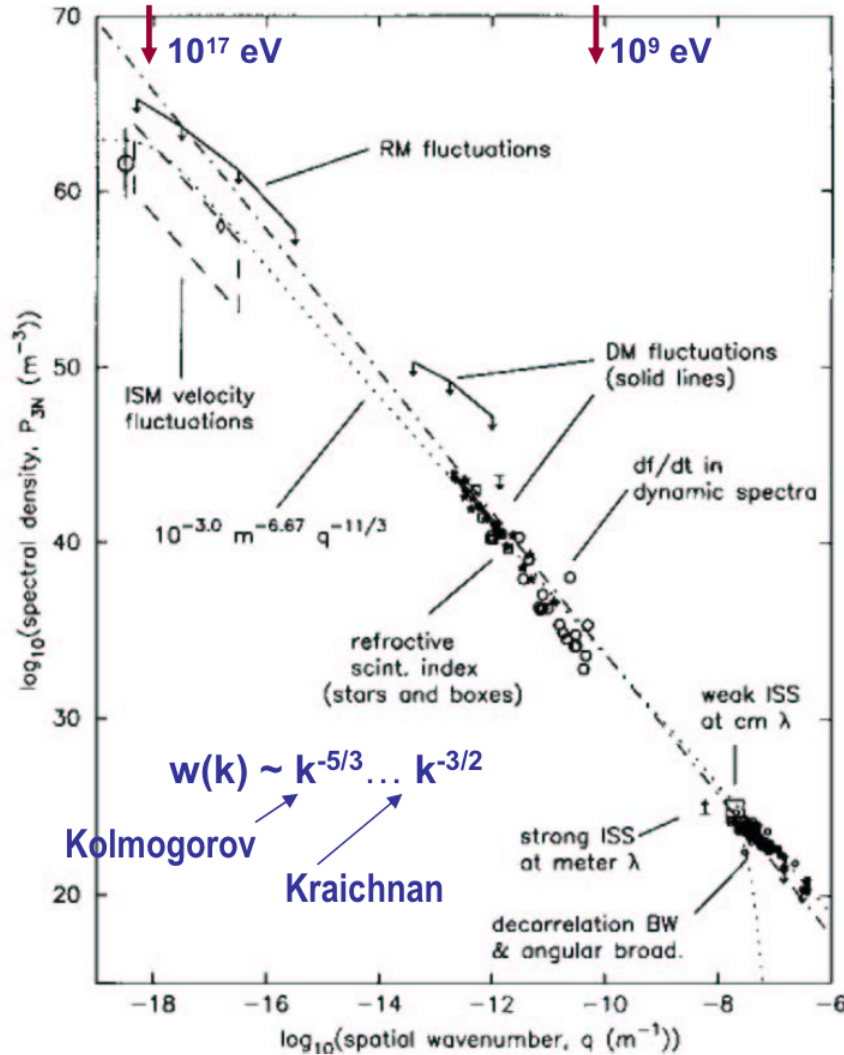


Possiamo, a scopo illustrativo, considerare una $\vec{\delta B} \perp B_0$ che si propaga lungo ~~una~~ ^{una} linea del campo medio B_0 .

In tal caso δB "ruota" intorno alla direzione di B_0 con frequenza ω .

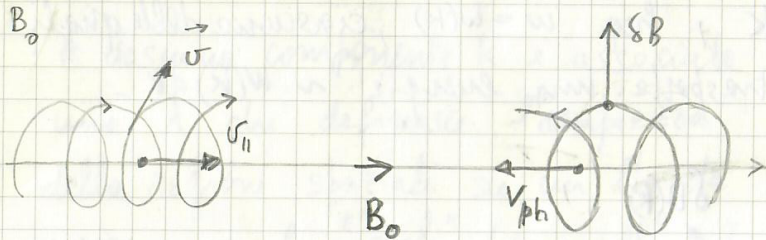
interstellar turbulence

Armstrong et al 1995



Motion in magnetic fields

Supponiamo ora che una particella viaggi con velocità \vec{v} t.c. abbia una comp. $v_{||}$ lungo



La particella oscilla intorno a B_0 con la frequ. di Larmor $\Omega = \omega_p / qB = \frac{m_0 c \beta \gamma}{qB}$

Quando onde e particella collidono, il campo δB esercita una forza di Lorentz sulla particella

Dato che part. e onda si muovono l'una verso l'altra, la frequ. dell'onda "vista" dalla part. subisce uno spost. Doppler $\omega' = \gamma(\omega - \vec{k} \cdot \vec{v})$

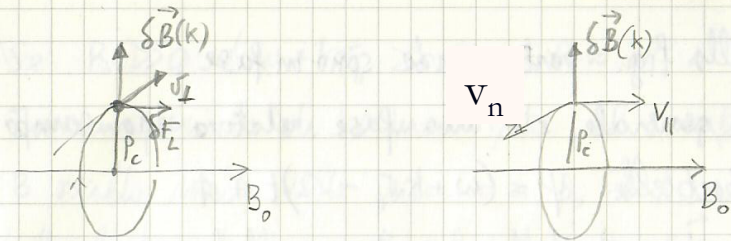
\therefore Per semplicità supponiamo $\beta \ll 1 \Rightarrow \gamma \approx 1$

Dato che \vec{k} e \vec{v} hanno versi opposti

$$\omega' \approx \omega + k v_{||}$$

Per facilitare la visualizz., separiamo in comp v_{\perp} e $v_{||}$ della vel. della particella

Nel caso di angoli di pitch arbitrari l'interazione è una combinazione delle due componenti



Prendiamo il caso di v_{\perp}

Forza $\delta F_{\perp} = q \vec{v}_{\perp} \times \delta B(k)$, diretta come \vec{B}_0

$$\text{Per cui } \frac{dv_{||}}{dt} = \frac{q v_{\perp} \delta B}{m \beta}$$

La variazione di angolo di pitch

$$\cos \alpha = \frac{v_{||}}{v} \Rightarrow -\sin \alpha \delta \alpha = \frac{\delta v_{||}}{v} \quad (v = \text{cost.})$$

$$\Rightarrow \delta \alpha = -\frac{\delta v_{||}}{v \sin \alpha} = -\frac{\delta v_{||}}{v_{\perp}}$$

$$\text{Perciò } \delta \alpha = -\frac{q v_{\perp} \delta B \delta t}{m v_{\perp}} = -\left(\frac{q B_0}{m}\right) \left(\frac{\delta B}{B_0}\right) \delta t$$

$$\Omega = \frac{q B_0}{m} \text{ freq. di Larmor}$$

$$\delta \alpha = -\Omega \delta t \left(\frac{\delta B}{B_0}\right)$$

δt è l'intervallo di tempo in cui particella e campo δB sono in fase e $-\Omega \delta t$ è la fraz. di tempo che sono in fase in un periodo di Larmor

Motion in magnetic fields

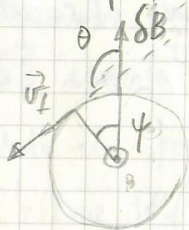
Nella fig. particelle e onde sono in fase

In generale c'è una fase relativa tra campo e particella $\psi = (\omega + kv_{\parallel} - \Omega)t + \phi$ che dipende dalla fase frequ. relativa

$$R = \omega + kv_{\parallel} - \Omega$$

Se $R \neq 0$ $\psi = \psi(t)$, la diff. di fase varia nel tempo

Se $R = 0$ $\psi = \phi = \text{cost.}$, la diff. di fase non dipende dal tempo



La forza di Lorentz è

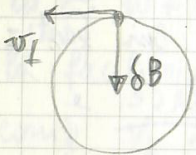
$$\delta \vec{F} = q \vec{v}_{\perp} \times \delta \vec{B} \quad \text{cioè}$$

$$\delta F = q v_{\perp} \delta B \sin \theta$$

$$\text{Ma } \theta = \psi + \pi/2 \Rightarrow$$

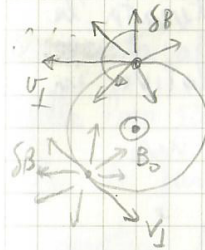
$$\delta F = q v_{\perp} \delta B \cos \psi$$

Se $\psi = \pi$ si ottiene una diffusione opposta a quella in cui $\psi = 0$ perché la forza di Lorentz ha verso opposto al precedente



• Se $R \gg 0$ $\omega' = \omega + kv_{\parallel} \gg \Omega$ $R \approx \omega'$

In un periodo di Larmor $1/\Omega$, il campo B oscilla molte volte intorno a $B_0 \Rightarrow$ Assume tutte le possibili orientazioni rispetto a \vec{v}_{\perp} per cui $\langle \delta F \rangle = 0$

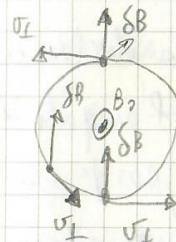


La particella vede un campo alla freq. ω' ; dato che $\omega' \gg \Omega$ il valore medio di $\cos \psi(t)$ in un periodo di Larmor è

$$\langle \cos \psi \rangle_{\text{Larmor}} = \frac{1}{T} \int_0^T \cos \omega' t dt \approx 0$$

• Se $R \ll 0$ $\omega' \ll \Omega$ e $R \approx -\Omega$

In tal caso, in un periodo di Larmor, la fase dell'onda varia di poco, cioè la dir. di $\delta \vec{B}$ è \approx fissa mentre \vec{v}_{\perp} le ruota intorno $\Rightarrow \vec{v}_{\perp}$ assume tutte le possibili orientazioni rispetto a $\delta \vec{B}$

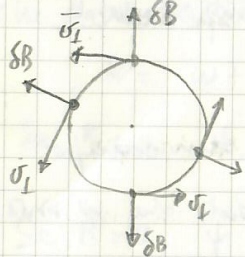


$$\begin{aligned} \text{In tal caso} \quad \langle \cos \psi \rangle_{\text{Larmor}} &\approx \frac{1}{T} \int_0^T \cos \Omega t dt \\ &= \Omega \int_0^T \cos \Omega t dt = 0 \end{aligned}$$

Motion in magnetic fields

Perciò se $|R| \gg 0$, in un periodo la forza netta è ≈ 0 e non c'è deflessione in x

$$\therefore R = \omega - k v_{\parallel} - \Omega = 0$$



$$\Rightarrow \psi(t) = \phi = \text{cost.}$$

δB e particelle sono in fase, mantengono inalterata la loro orientaz. relative in un periodo di Larmor

Allora $\delta F = q v_{\perp} \delta B \cos \phi = \text{cost.}$ e

$$\delta a = -\Omega \delta t \left(\frac{\delta B}{B_0} \right) \cos \phi \quad \text{in un tempo } \delta t$$

$$\begin{aligned} \delta a_{\text{Larmor}} &= \int_0^{1/\Omega} \delta a = -\int_0^{1/\Omega} \Omega \delta t \left(\frac{\delta B}{B_0} \right) \cos \phi \\ &= \left(\frac{\delta B}{B_0} \right) \cos \phi \end{aligned}$$

In un periodo di Larmor o su una distanza $\lambda = 2\pi/k$, la particella cambia l'angolo di pitch di una quantità netta $\left(\frac{\delta B}{B_0} \right) \cos \phi$

La fase relativa ϕ determina l'intensità della deflessione. Se ϕ è random, anche δa lo è

• Dal dominio della frequ. si può passare a quello "spaziale" dei numeri d'onda $k = 2\pi/\lambda$ utilizzando $\omega = k v_{ph} \Rightarrow \lambda = \frac{2\pi v_{ph}}{\omega}$ che definisce la scala fisica su cui agisce la comp $\delta B(k)$.

Lo spettro di potenza $w(k)$ fornisce l'energia associata alle irregolarità magnetiche in funzione della loro scala fisica

• Per le particelle che si propagano nel campo magnetico, la scala associata alla frequ. di Larmor è il raggio di Larmor ρ_g .

La condizione di risonanza di ciclotrone si traduce nella condizione $\rho_g \sim \lambda$ per avere interazioni significative tra onda e particella.

Se $\omega \ll \Omega \rightarrow \rho_g \gg \lambda$ la particella non interagisce in media con le irregolarità e segue il campo medio \vec{B}_0 .

$$\rho_g = \frac{p}{m v}$$

Motion in magnetic fields

Se $\omega' \gg \Omega$ cioè $\lambda \gg p_g$, non si ha deflessione da risonanza. Tuttavia in questo limite invece si applica l'approx del centro di guida perché

$$\frac{p_z}{\lambda} \sim p \frac{v_B}{B} \ll 1$$

In tal caso si può dimostrare che la quantità

$$\frac{p_z^2}{B} \approx \text{cost.}$$

cioè $p^2 \frac{\sin^2 \alpha}{B} \approx \text{cost.}$ ovvero $\frac{\sin^2 \alpha}{B} = \text{cost.}$

Quindi

$$2 \sin \alpha \cos \alpha d\alpha - \sin^2 \alpha dB = 0$$

$$\frac{d\alpha}{\tan \alpha} = 2 \frac{dB}{B} \quad \Delta \alpha = 2 \tan \alpha \frac{\Delta B}{B}$$

Nel caso $p_g \sim \lambda$, l'angolo di pitch può cambiare in modo significativo in un giroorbita.

Se la particella interagisce con "pochissime" onde che hanno una fase random si può avere una deviazione in angolo significativa su una lunghezza caratteristica, quella di scattering λ_{sc}

Dato che $p_g = \frac{cp}{qB_0} = \frac{R}{B_0}$ $R = \frac{cp}{q}$ rigidità magn.
 e $p_g \sim \lambda$, possiamo associare una rigidità magnetica con ciascuna scala fisica nello spettro di potenza: $\lambda \sim R/B_0$

Sono queste irregolarità che forniscono i centri di scattering più efficienti in angolo di pitch

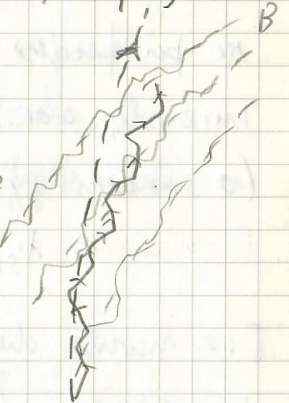
Motion in magnetic fields

Possiamo immaginare il campo nell'ISM come un campo medio \vec{B}_0 con sovrapposti treni d'onda ^{mutocorrelati} che si propagano in tutte le direzioni con fasi casuali.

Possiamo immaginare che ciascuna particella subisce l'azione di una particolare comp. del campo solo per una lunghezza d'onda λ prima di incontrare un'altra onda con lo stesso λ ma con fase arbitraria rispetto all'onda precedente.

Così le particelle interagiscono successivamente con "molte" onde di lung. d'onda λ con fasi relative casuali (e quindi casuale rispetto alla fase delle particelle) viaggiando rapidamente nel campo finché la deviazione cumulative dell'angolo di pitch diventa grande e le particelle iniziano a interagire con un altro treno d'onde.

La variazione $\delta\alpha$ ^{in un giro orbita} ^{casuale} $\delta\alpha$ ^{casuale} implica uno spostamento del centro di guida $\delta r_{cg} \approx \rho_g \delta\alpha$; e le particelle si spostano in modo casuale attraverso le linee di campo \vec{B} , cioè diffondono nel campo \vec{B} .



Dopo aver interagito con N onde della stessa λ e con le stesse densità di energia ma fasi casuali, la particella subisce una deviazione

$\delta\alpha \approx \left(\frac{\delta B}{B_0}\right)$, la deviazione media complessiva è

$$\delta\phi = \sum_1^N \delta\alpha_i \quad \text{con } \langle \delta\phi \rangle = 0$$

$$\langle \delta\phi^2 \rangle = \sum_1^N (\delta\alpha_i)^2 = N \delta\alpha^2 = N \left(\frac{\delta B}{B_0}\right)^2$$

$$\Rightarrow \langle \delta\phi \rangle = \sqrt{\langle \delta\phi^2 \rangle} = \left(\frac{\delta B}{B_0}\right) \sqrt{N}$$

Però per avere una deviazione di $\pi/2$ sono necessarie $N = \frac{\pi^2}{4} \left(\frac{B_0}{\delta B}\right)^2$ interazioni o "collisioni" con le onde.

Motion in magnetic fields

Quasi $N = \frac{\pi^2}{4} \left(\frac{B_0}{\delta B} \right)^2$ è il # di collisioni necessarie affinché la particella "perda memoria" della sua direzione iniziale.

La distanza che la particella deve percorrere per perdere memoria della sua direzione iniziale, cioè la lunghezza di diffusione (o scattering) è

$$\lambda_{sc} = N \lambda \approx \frac{\pi^2}{4} \rho \left[\frac{B_0}{\delta B(k)} \right]^2$$

[i.e. ricorda che alla risonanza $\lambda \propto \rho/g$]

λ_{sc} dipende da $\delta B^2(k)$, la densità di E associata alla scala fisica $2\pi/k = \lambda$.

Lo spettro di potenza del campo è dato in T^2/m^1 , cioè $\delta B^2(k) = w(k) dk \sim w(k)k$

$$\Rightarrow \lambda_{sc} \approx \frac{\pi^2}{4} \rho \frac{B_0^2}{w(k)k}$$

$$k = \frac{2\pi}{\rho/g} \Rightarrow \lambda_{sc} \approx \frac{\pi}{8} \rho \frac{B_0^2}{w(k)}$$

$$\rho/g = \frac{cP}{qB_0} = \frac{R}{B_0} \Rightarrow \lambda_{sc} \approx \frac{\pi}{8} \frac{R^2}{w(k)}$$

Dato che $w(k) \propto k^{-\alpha} \propto \rho^{+\alpha}$

$$\lambda_{sc} \propto \rho^{2+\alpha} = \rho^{+\alpha}$$

cioè $\lambda_{sc} \propto R^{+\alpha}$

La lunghezza di diffusione dipende dalla rigidità R delle particelle

L'indice α dipende dallo spettro di potenza delle irregolarità δB

Il coeff. di diffusione D

$$D = \frac{1}{3} v^2 \tau \propto c R^{+\alpha} \quad (v \approx c)$$

dipende dalla rigidità magnetica

Di conseguenza anche il tempo di residenza dei RC dipende dalla rigidità, dato che

$$\tau \approx \frac{H^2}{D} \quad \text{con } H \text{ spessore del disco o dell'alone}$$

$$\Rightarrow \tau \sim R^{-\alpha}$$

Motion in B fields: classical approach

Guiding center decomposition:

Parallel and normal components to the field line: $\mathbf{V} = \mathbf{V}_p + \mathbf{V}_n$ and

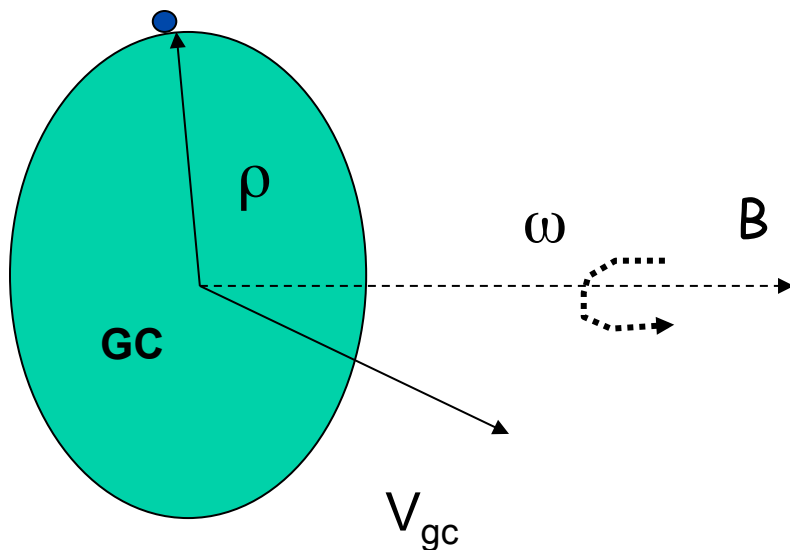
\mathbf{V}_n is decomposed in a drift and a gyration with Larmor radius $\rho = \mathbf{P}_n / \mathbf{B}q$ and frequency

$$\omega = q\mathbf{B}/m \rightarrow \mathbf{V} = \mathbf{V}_p + \mathbf{V}_D + \omega \times \rho = \mathbf{V}_{gc} + \omega \times \rho$$

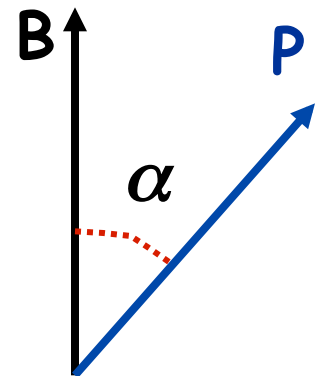
The motion is then described by a translation of a point, the Guiding Center, plus a gyration around GC normal to B

Parallel and normal components are decoupled

If $dB/Bdt \ll \omega/2\pi$



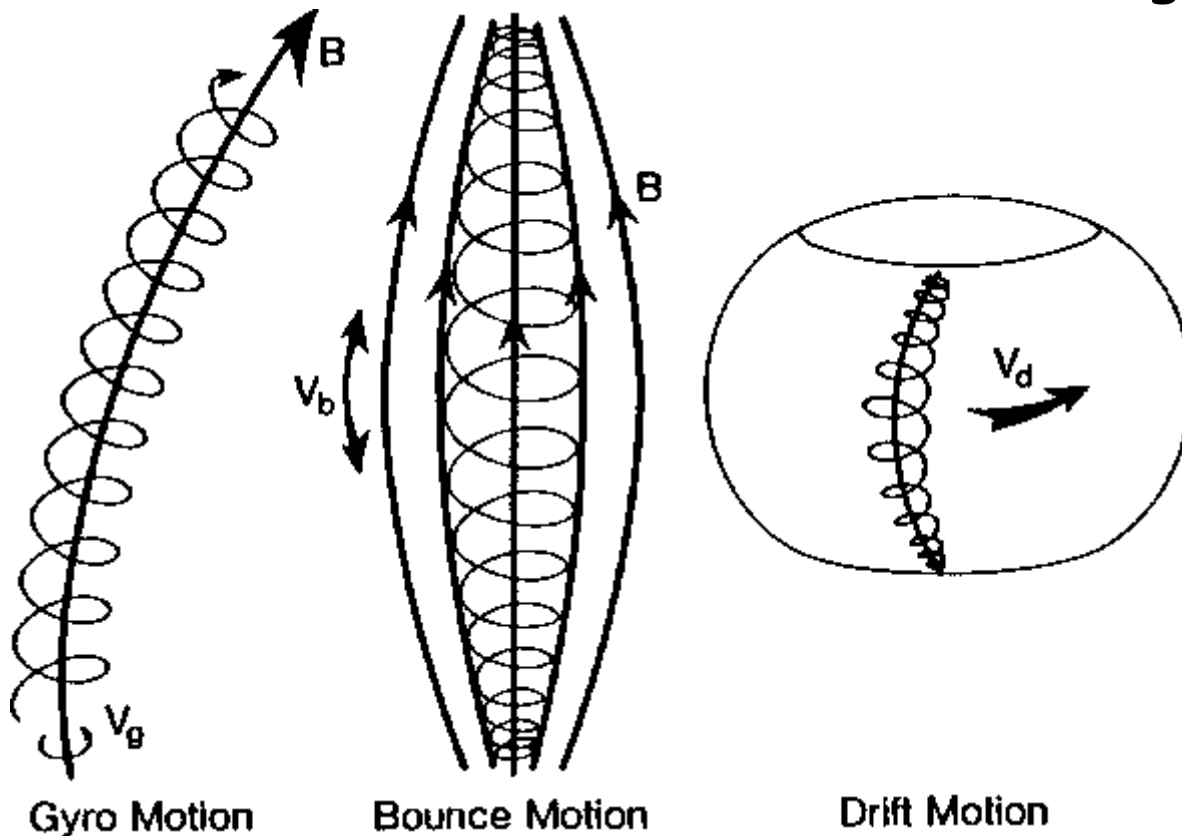
$V_n = V \sin \alpha$
 $V_p = V \cos \alpha$
The "Pitch" Angle



Motion in B fields: classical approach

As a consequence of the decoupling, the motion can be decomposed in 3 quasi-periodic components:

- gyration around the field line
- bouncing between the mirror points along the field line
- drifting normal to the field line and to the field gradient



A more powerful approach: adiabatic invariants in B fields (1)

Guiding center equations are an enormous improvement wrt the Lorenz equation but drift and mirroring equations do not allow long-range predictions of particle location, if no axial symmetry is present

What is missing? The “constants of motion”, analogous to the conservation of E, P, and angular momentum

Fortunately, in mechanical systems undergoing to periodic motion in which the force changes slightly over a period, approximate constants do exist → the adiabatic invariants

A more powerful approach: adiabatic invariants in B fields

The classical Hamilton-Jacobi theory defines adiabatic invariants for periodic motion: the action-angle variables

$$\mathbf{J}_i = \oint \mathbf{p}_i d\mathbf{q}_i$$

With p_i and q_i action angle variables canonically conjugated and the integral is taken over a full period of motion

$dJ/dt \sim 0$ provided that changes in the variables occur slowly compared to the relevant periods of the system and the rate of change is constant

Because there are 3 periodic motions, 3 adiabatic invariants can be defined

For a charged particle in a magnetic field, the conjugate momentum is $\underline{\mathbf{P}} = \underline{\mathbf{p}} + q\underline{\mathbf{A}}$, with \mathbf{A} vector potential of magn field

Simple example \rightarrow Mechanical pendulus: if the lenght increases only weakly during one swing, then Energy x Period, $E \cdot T$, is a quasi-constant of motion, i.e. an adiabatic invariant

1st invariant: gyromotion

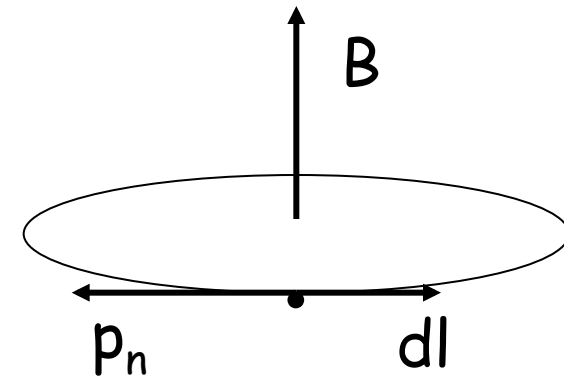
The so-called first adiabatic invariant is obtained by integrating \mathbf{P} from equation (4.10) around the gyration orbit, where $d\mathbf{l}$ is an element of the particle path around the orbit.

$$\begin{aligned} J_1 &= \oint [\mathbf{p} + q\mathbf{A}] \cdot d\mathbf{l} \\ &= p_{\perp} \cdot 2\pi\rho + q \oint \mathbf{A} \cdot d\mathbf{l} \\ &= p_{\perp} \cdot 2\pi \frac{\rho_{\perp}}{Bq} + q \oint \nabla \times \mathbf{A} \cdot d\mathbf{S} \end{aligned} \quad (4.11)$$

where $d\mathbf{S}$ is an element of the area enclosed by the path. Therefore,

$$\begin{aligned} J_1 &= \frac{2\pi p_{\perp}^2}{Bq} + q \oint \mathbf{B} \cdot d\mathbf{S} \\ &= \frac{2\pi p_{\perp}^2}{Bq} - qB\pi\rho^2 \\ &= \frac{2\pi p_{\perp}^2}{Bq} - \frac{\pi p_{\perp}^2}{Bq} = \frac{\pi p_{\perp}^2}{qB} \end{aligned} \quad (4.12)$$

The second term in (4.12) is negative because $d\mathbf{S}$ as defined by the particle orbit points in the opposite direction to \mathbf{B} .



1st invariant: gyromotion

$$\frac{dJ_1}{dt} = \frac{\pi d}{qdt} \left(\frac{p_n^2}{B} \right) \quad \frac{d}{dt} \left(\frac{p_n^2}{B} \right) = \left(\frac{dp_n^2}{Bdt} - \frac{p_n^2}{B^2} \frac{\partial B}{\partial t} \right)$$

Multiplico per B/p²

$$\frac{B}{p_n^2} \frac{d}{dt} \left(\frac{p_n^2}{B} \right) = \left(\frac{dp_n^2}{p_n^2 dt} - \frac{1}{B} \frac{\partial B}{\partial t} \right)$$

Let |B| vary in time uniformly. Because B varies in time, there an induction field such that

$$\oint \nabla \times \mathbf{E} \cdot d\mathbf{S} = \oint \mathbf{E} \cdot d\mathbf{l} = - \oint \frac{\partial \mathbf{B}}{\partial t} \cdot d\mathbf{S} = -\pi \rho^2 \frac{\partial B}{\partial t} \quad (4.14)$$

The energy change in one revolution or in one gyroperiod τ_g is therefore

$$\Delta W = -q \oint \mathbf{E} \cdot d\mathbf{l} = q\pi \rho^2 \frac{\partial B}{\partial t} \quad (4.15)$$

The fundamental assumption is that dB/dt does not vary over a gyroperiod, dB/dt ~ cost per t < τ_g

Hence

$$\begin{aligned} \frac{dW}{dt} &= \frac{\Delta W}{\tau_g} = q\pi \rho^2 \frac{\partial B}{\partial t} \cdot \frac{Bq}{2\pi m_o \gamma} & \tau_g &= 2\pi/\omega = 2\pi m_o \gamma / qB \\ &= \left(\frac{p_n^2}{2m_o \gamma B} \right) \frac{\partial B}{\partial t} & & (4.16) \end{aligned}$$

1st invariant: gyromotion

Also,

$$\frac{dW}{dt} = \frac{d}{dt}(\gamma m_0 c^2) = m_0 c^2 \frac{d\gamma}{dt} \quad (4.17)$$

where

$$\begin{aligned} \frac{d\gamma}{dt} &= \frac{d}{dt} \left[1 + \frac{p_{\perp}^2}{m_0^2 c^2} \right]^{1/2} & \gamma &= E_n / m_0 c^2 \\ &= \frac{1}{2m_0^2 c^2 \gamma} \frac{dp_{\perp}^2}{dt} & &= [p_n^2 + (m_0 c^2)^2]^{1/2} / m_0 c^2 = \\ & & &= [(p_n / m_0 c^2)^2 + 1]^{1/2} \end{aligned} \quad (4.18)$$

Equate (4.16) and (4.17) using (4.18) for $d\gamma/dt$ to obtain

$$\frac{1}{B} \frac{\partial B}{\partial t} = \frac{1}{p_{\perp}^2} \frac{dp_{\perp}^2}{dt}$$

Therefore

$$\frac{B}{p_n^2} \frac{d}{dt} \left(\frac{p_n^2}{B} \right) = \left(\frac{dp_n^2}{p_n^2 dt} - \frac{1}{B} \frac{\partial B}{\partial t} \right) = 0$$

and

$$\frac{p_{\perp}^2}{B} = \text{constant} \quad (4.19)$$

and it follows that $\mu = p_{\perp}^2 / 2m_0 B$ is also constant.

Adiabatic invariants in B fields: 1st invariant

If B field varies only weakly in 1 gyroradius, i.e. $dB/Bdt \ll \omega_L/2\pi$, or $Bd\rho/dB \ll \rho$, then

$$\mu = \frac{p_{\perp}^2}{2m_0 B} \approx \text{const.} \quad \text{or} \quad I_1 = J_1/p = \sin^2 \alpha / B \approx \text{const.}$$

- When $\alpha=90^\circ$, mirroring occurs, and $B_m = B/\sin^2 \alpha$ defines the mirror field value which is the same at all the mirror points along the particle trajectory, i.e. particle reflection occurs always at $B_m = \text{constant}$.

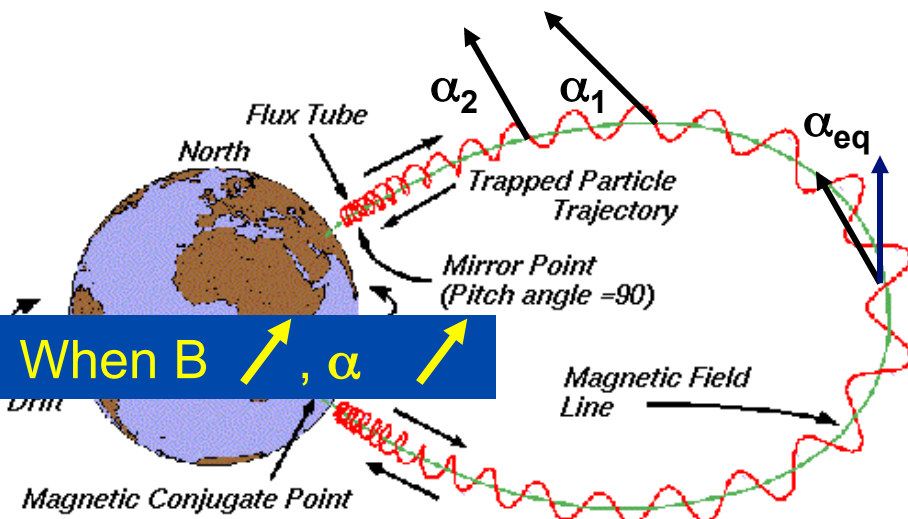
At magn equator, α is minimum and

$$\sin^2 \alpha_{eq} = B_{eq} / B_m$$

$$\sin^2 \alpha = B / B_m$$

any field value $\rightarrow \alpha$ depends only on the field

B_m is an adiabatic invariant because identical to an adiabatic invariant and because B_{eq} is a constant α_{eq} is an adiabatic invariant too



Adiabatic invariants in B fields: 2nd invariant

Bouncing \rightarrow $J_2 = \oint (\vec{p} + q\vec{A}) \cdot d\vec{s}$ with ds element of path along the field line

If B field varies weakly on a scale comparable with the distance traveled along the field by the particle during one gyration $\rightarrow \nabla_p B/B \ll \omega_L / 2\pi v_p$ then $J_2 \sim \text{const.}$

The 2nd term gives

$$\begin{aligned} \oint q\vec{A} \cdot d\vec{s} &= q \int \nabla \times \vec{A} \cdot d\vec{S} \\ &= q \int \vec{B} \cdot d\vec{S} \\ &= 0 \end{aligned} \quad (4.30)$$

since the integration path along the field line encloses a negligible area and no magnetic flux.

Therefore

$$J_2 = \oint \vec{p} \cdot d\vec{s} = \oint p \cos \alpha ds = \oint p_{\parallel} ds = \text{constant} \quad (4.31)$$

Da dimostrare..

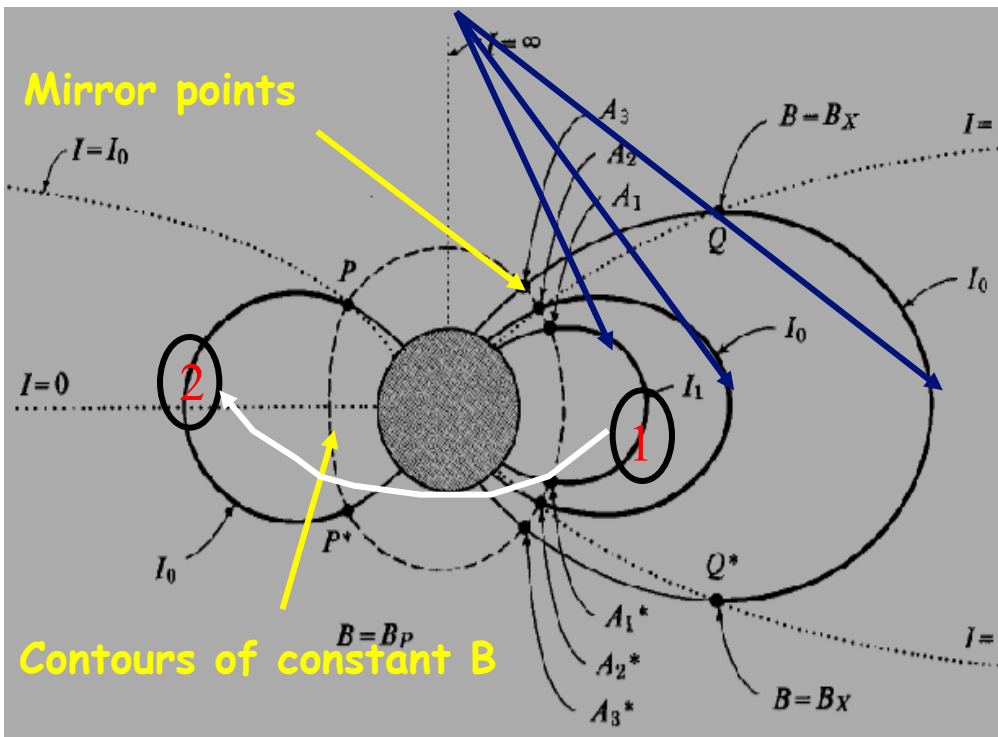
Adiabatic invariants in B fields: 2nd invariant

J_2 does not depend on particle properties but only on field structure, because

$$\cos\alpha = (1 - \sin^2\alpha)^{1/2} = [1 - B(s)/B_m]^{1/2}$$

$$J_2 = p \int_{s'}^s \sqrt{1 - B(s)/B_m} ds \rightarrow I_2 = \frac{J_2}{2p} \approx \text{const}$$

Contours of constant I_2



The primary use of I_2 is to find surfaces mapped out during bouncing and drifting. A particle initially on curve 1, with a given I , will drift on curve 2 (with the same I) and return to 1, mirroring at B_m in both the hemispheres throughout the drifting. At each longitude there is ONLY one curve –or field line segment– having the required value of I . The particle will follow a trajectory made of field line segments such that I is constant.

Adiabatic invariants in B fields: 3rd invariant

Drifting $\rightarrow \mathbf{J}_3 = \oint (\vec{p} + q\vec{A}) \cdot d\vec{l}_D$ with $d\vec{l}_D$ element along the long drift path

If B field varies only weakly in the area encircled by particle during the gyration or drift motion i.e. $\nabla B_n/B \ll \omega_L/2\pi v_n$ or $\nabla B_n/B \ll \omega_L/2\pi v_D$

then $J_3 \sim \text{const.}$

$$\mathbf{J}_3 = \oint_{\text{drift}} (q\vec{A} + \vec{p}) \cdot d\vec{l}_D \approx \oint_{\text{drift}} q\vec{A} \cdot d\vec{l}_D = \int (\nabla \times \vec{A}) \cdot d\vec{S} = \int \vec{B} \cdot d\vec{S} = q\Phi \approx \text{const}$$

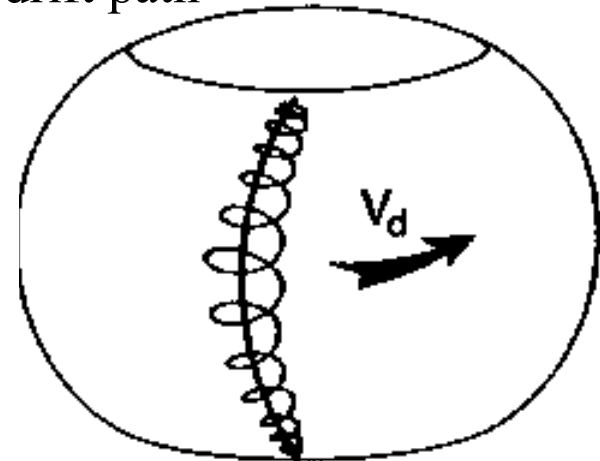
The 3rd invariant is prop to magnetic flux Φ enclosed by drift path

Important to describe drifts paths during slow changes of B.

In slowly changing fields 1st and 2nd invariant are conserved but E can change, e.g. due to slow compression/expansion of field or secular variations of the field.

Conservation of Φ requires particles to move inward/outward reversibly on the orbit during changes.

Rapid changes, i.e. $dB/dt \gg B\omega_D$, will cause permanent changes in Φ and therefore in particle orbits, e.g. solar storms, CME,...



Motion periods: gyration

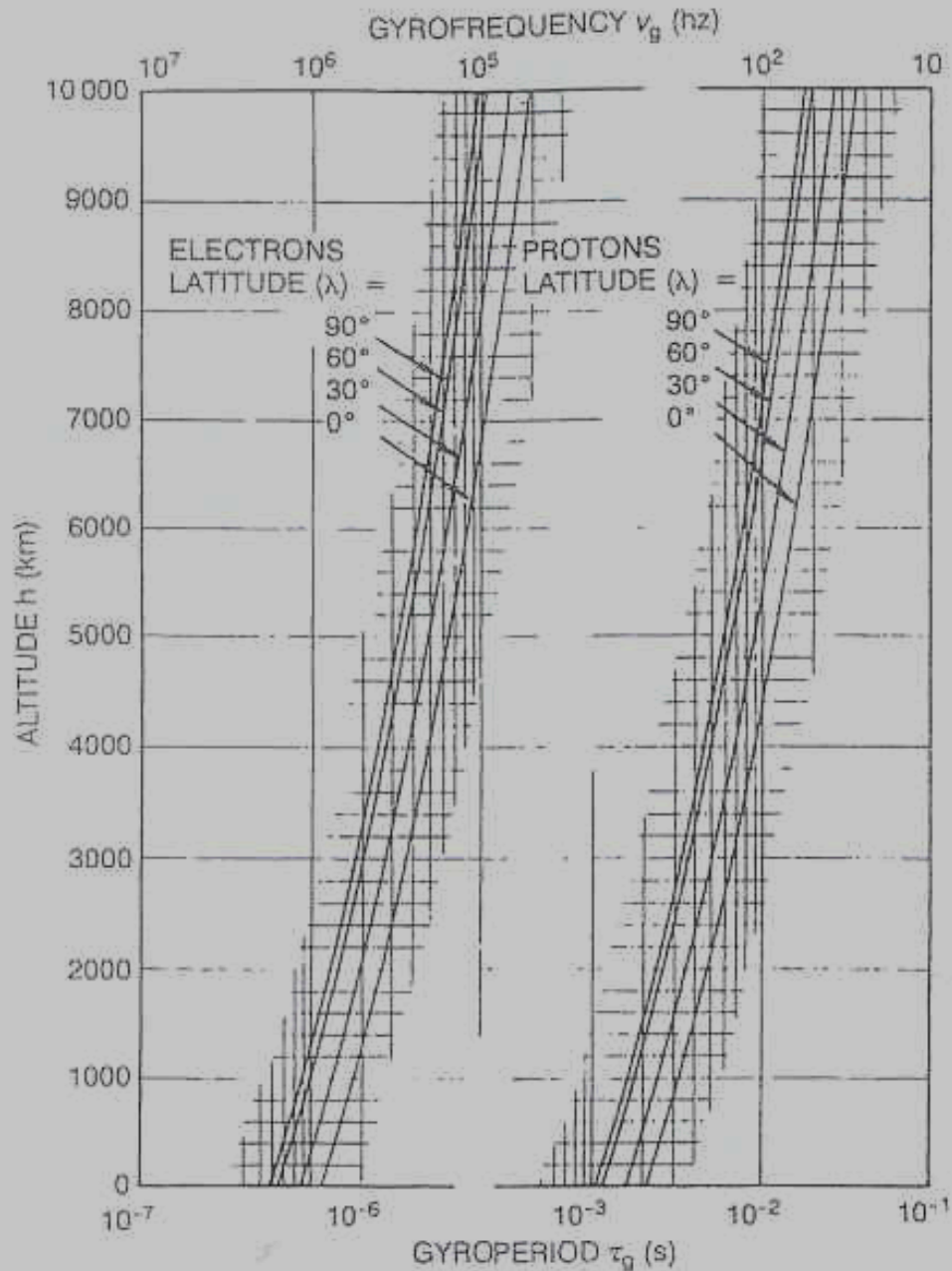
The periods of three components are characteristic with a precise hierarchy: $\tau_L \ll \tau_b \ll \tau_D$ at the approximation of guiding center and of adiabatic invariant approach.

Gyration motion: an instantaneous circular motion normal to the field line.

The frequency of the motion is given by the Larmor frequency $\tau_L = 2\pi/\omega = 2\pi m/qB$ with a Larmor radius $\rho = p_n/qB = p \sin\alpha/qB$.

For relativistic particles $\tau_L = 2\pi m_0 \gamma /qB$ and $\gamma = E/m_0 c^2 \rightarrow \tau_L = 2\pi E /qBc^2$

Typical ranges are $10^{-3} - 10^{-6}$ sec (i.e. kHz - Mhz freq. range)



Larmor
period

Figure B.1. Gyration frequencies and periods of trapped electrons and protons in a centered, dipole magnetic field.

Motion periods: bouncing

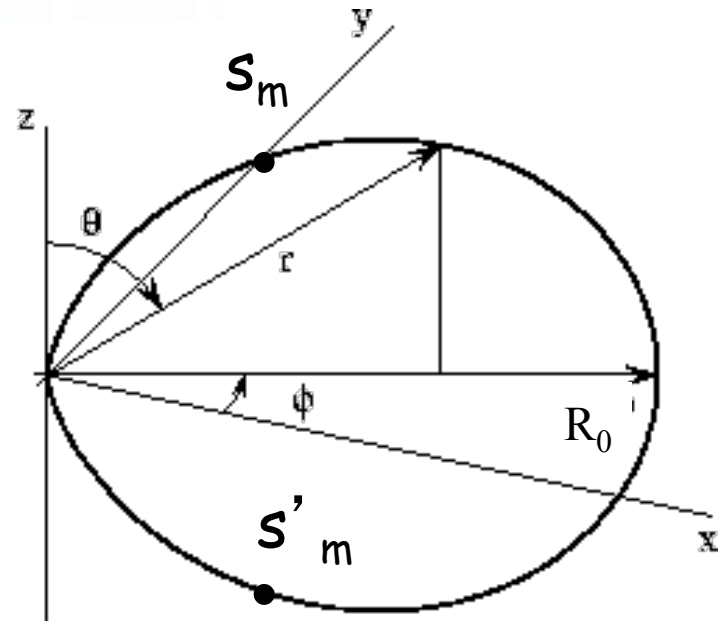
Bouncing motion: between the mirror points S, S' where $\alpha=90^\circ$. The period is given by

$$\begin{aligned} \tau_b &= 2 \int_{s_m}^{s'_m} \frac{ds}{v_{\parallel}(s)} = \frac{2}{v} \int_{s_m}^{s'_m} \frac{ds}{\cos \alpha(s)} \\ &= \frac{2}{v} \int_{s_m}^{s'_m} \frac{ds}{\sqrt{\left[1 - \frac{B(s)}{B_m}\right]}} = \frac{2}{v} \int_{s_m}^{s'_m} \frac{ds}{\sqrt{\left[1 - \frac{B(s)}{B_{eq}} \sin^2 \alpha_{eq}\right]}} \end{aligned}$$

For a dipole field

$$\tau_b = 0.117 \left(\frac{R_0}{R_E} \right) \frac{1}{\beta} \left[1 - 0.4635 (\sin \alpha_{eq})^{3/4} \right] s$$

It depends only on R_0 , the equatorial distance of the field line from the dipole center and on the particle speed β . There is only a weak dependence on the pitch angle



Motion periods: drift

The drift period is given the average drift speed over a bounce period $\langle d\Phi/dt \rangle = \Delta\Phi/\tau_b$ as $\tau_D = 2\pi / \langle d\Phi/dt \rangle$.

In a dipole, after a numerical integration, the drift period is given by

$$\tau_d = \frac{2\pi q B_0 R_E^3}{m v^2 R_0} [1 - 0.3333(\sin \alpha_{eq})^{0.62}] \quad (4.46)$$

This approximation can be simplified by collecting all constant factors to give

$$\tau_d = C_d \cdot \left(\frac{R_E}{R_0} \right) \frac{1}{\gamma \beta^2} [1 - 0.3333(\sin \alpha_{eq})^{0.62}] \quad (4.47)$$

where

$$C_d = 1.557 \times 10^4 \text{ s for electrons}$$

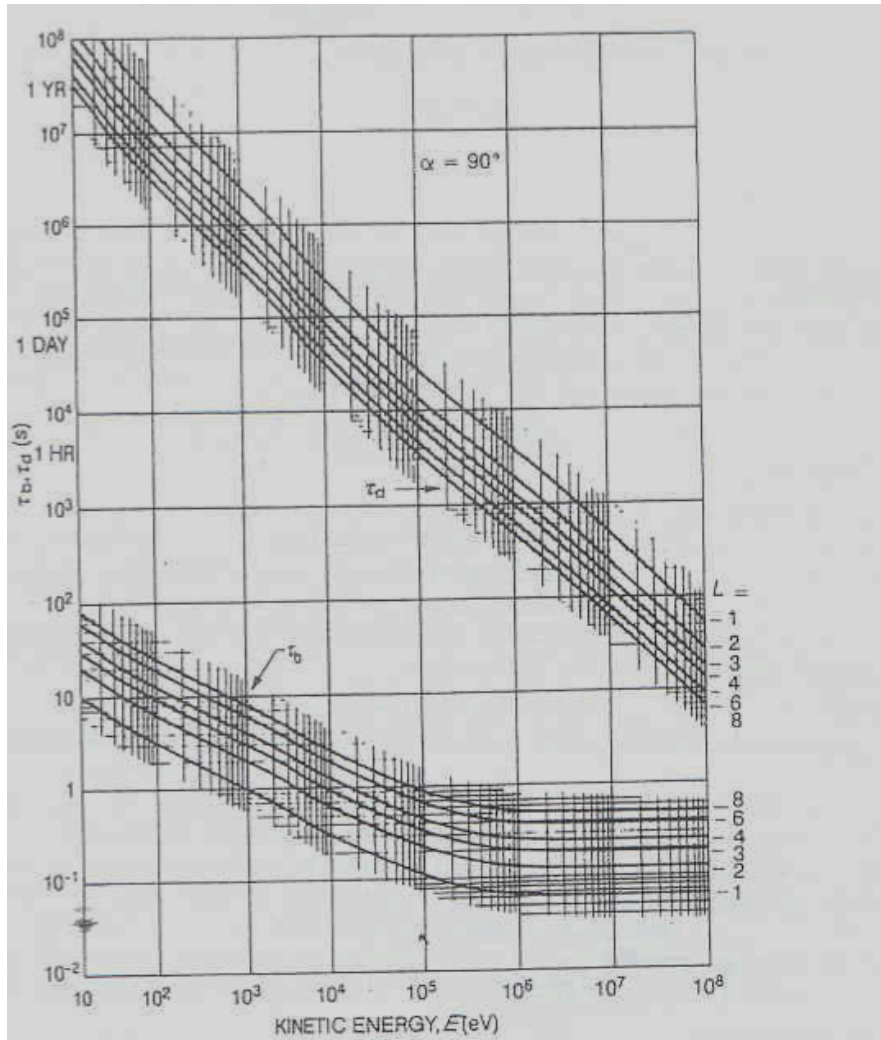
and

$$C_d = 8.481 \text{ s for protons}$$

$\gamma\beta^2 = (E/m_0c^2)[E^2 - (m_0c^2)^2]/E^2 = E/m_0c^2 - m_0c^2/E \rightarrow$ for relativistic particles the period scales as $1/E$

Time periods

Electroni



2. Bounce (τ_b) and drift (τ_d) periods of equatorially trapped electrons.

Protoni

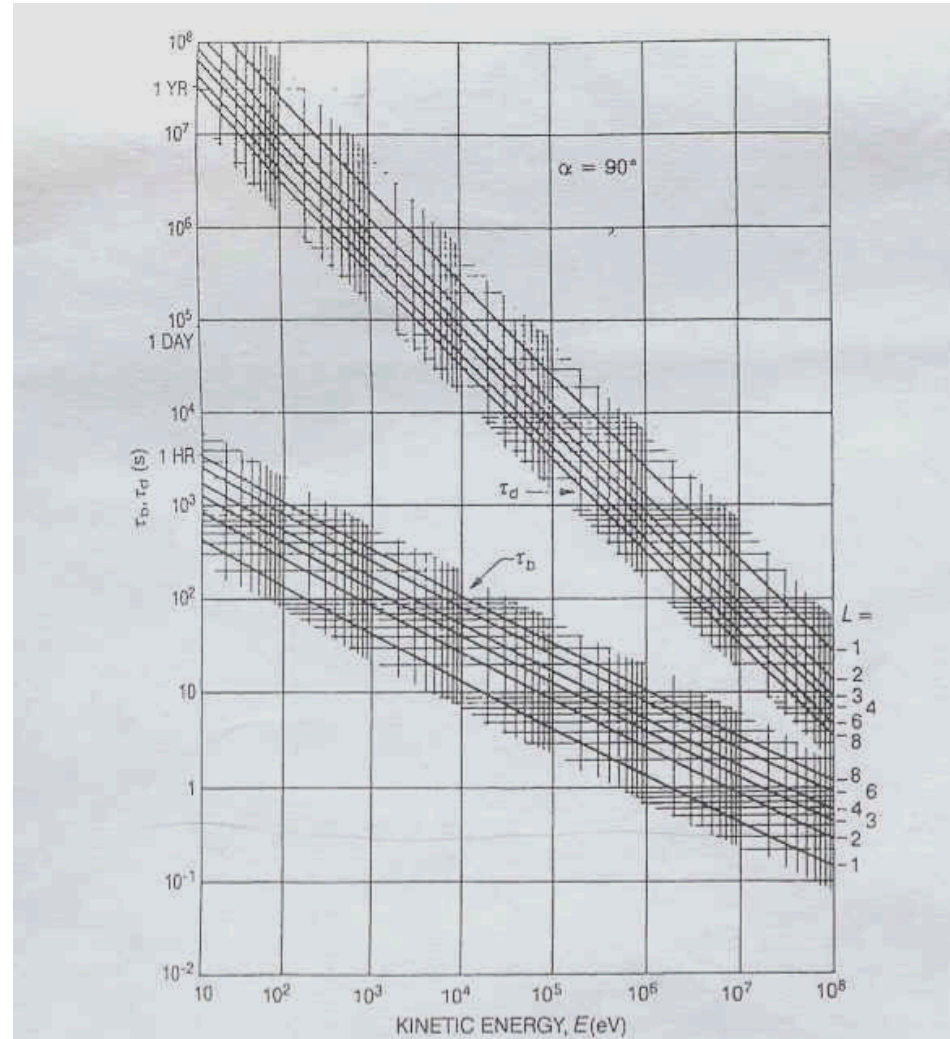
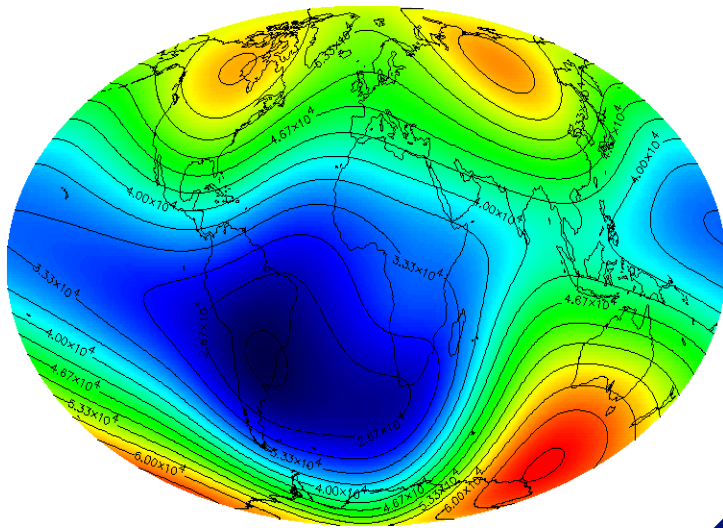


Figure B.3. Bounce (τ_b) and drift (τ_d) periods of equatorially trapped protons

Adiabatic invariants in B fields: coordinates

Any reference system based on geocentric coordinates does not allow insights into the relationships between the particle distributions at different locations due to lack of symmetry in the irregular geomagnetic field

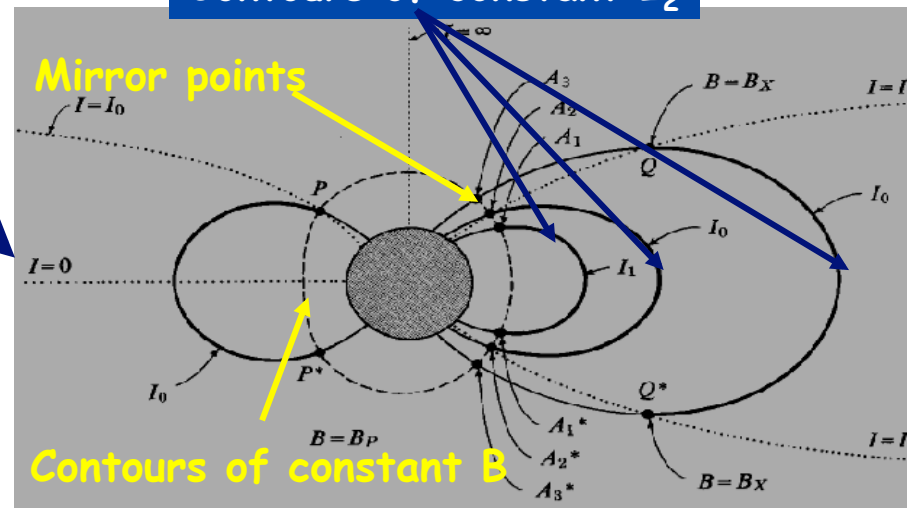


What is needed is a coord system based on trapped particle motion which will have naturally identical values for equivalent magnetic positions

Adiabatic invariants provide such a coordinates system

Contours of constant I_2

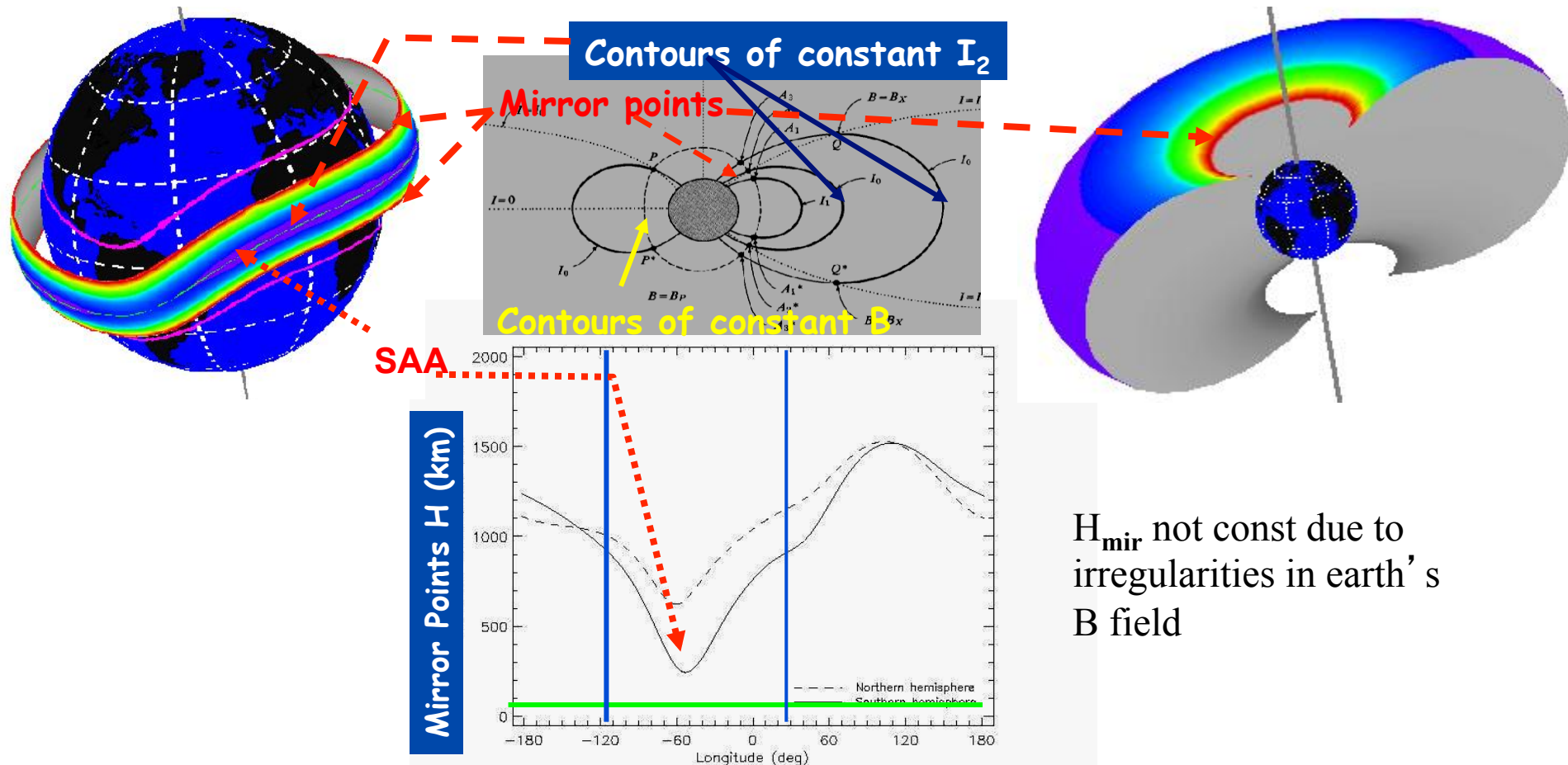
To conserve invariants particles will move following segments of field lines such that B_m (or α_0), L , Φ are conserved



Adiabatic invariants in B fields: drift shells (1)

The ensemble of field lines segments of constant invariants forms the surface mapped out by the guiding center of a particle during its motion:

the drift shell



H_{mir} not const due to irregularities in earth's B field

All the particles with the same invariants map out the same drift shell, i.e. are equivalent from magnetic point of view

Adiabatic invariants in B fields: drift shells (2)

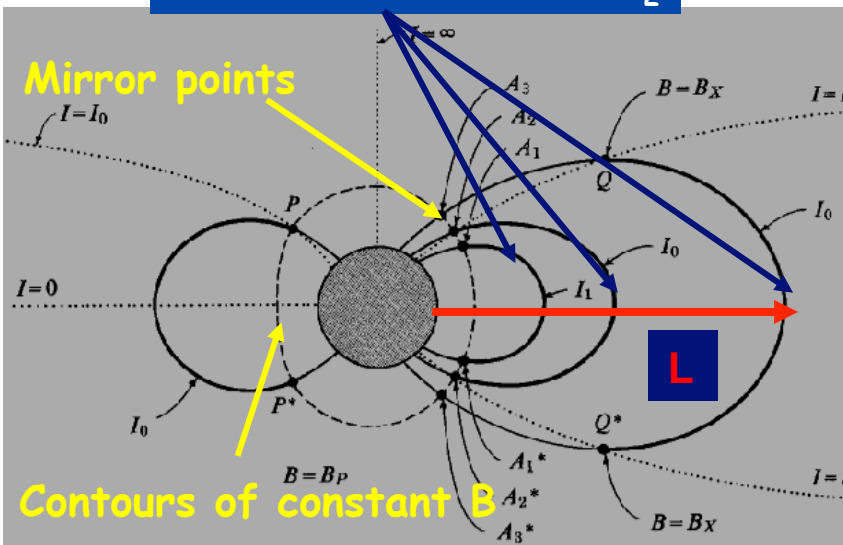
Adiabatic Invariants are difficult to visualize and interpret in a simple way, due to their complicated definition what is needed is to build more easily readable coords derived from AI:

$\mu \rightarrow B_m$ or α_{eq} , because they are very easy to interpret and are still AI
 \rightarrow all the particles with same B_m and α_{eq} will mirror at same location

For I_2 a dipole analogy: in a dipole field, all particles with same AI will cross magn. equator at same distance R_0 from dipole axis, i.e. particles will remain on field lines having the same R_0

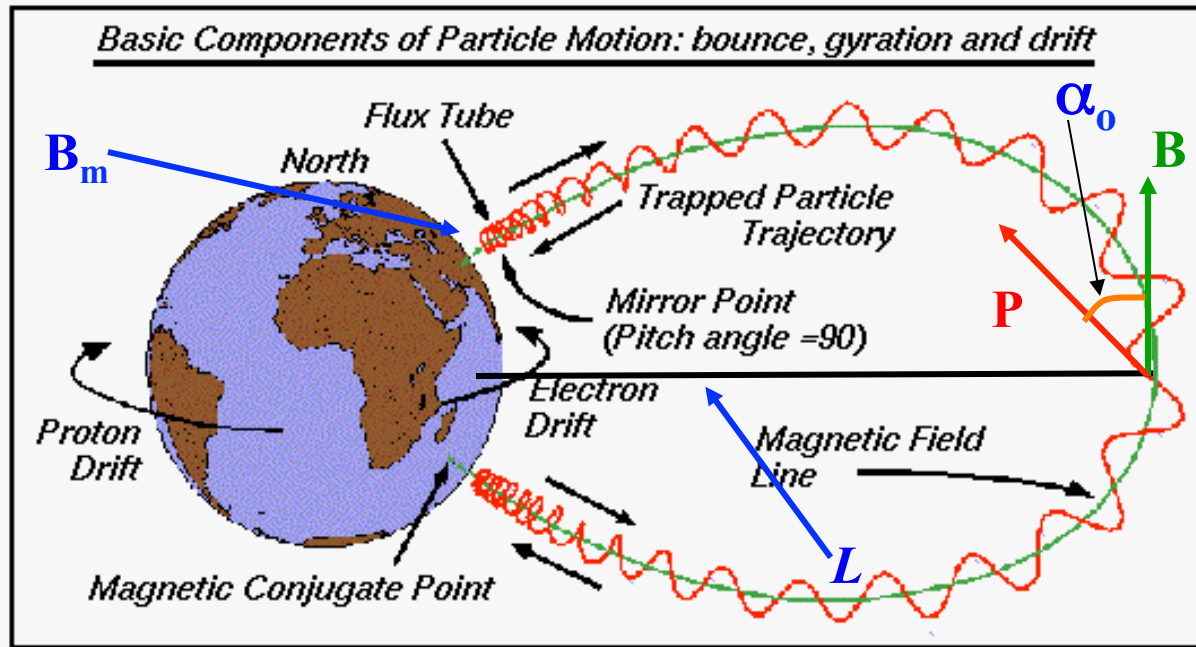
$\rightarrow R_0 = f_D(I_D, B_D, M_D)$ with f_D known function of dipole AI of the particle and magn moment of dipole

Contours of constant I_2



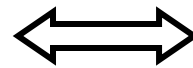
For real earth's field a new variable is defined based on dipole f_D : by definition the equivalent equatorial radius, L , called McIlwain parameter, is given by $LR_E = f_D(I, B, M_E)$
 Particles will follow paths such that $L = \text{const.}$
 NOTE: $L = \text{const.}$ does not imply $R = \text{const.}$!!!

Motion in Earth's Magnetic Field



3 **quasi-periodic** motion comp.

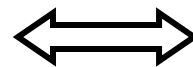
➤ **Gyration** with Larmor freq.



Adiab. Invariants

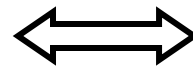
B_m or α_0

➤ **Bouncing** betw. mirror points



Shell Par. L

➤ **East-West** drift



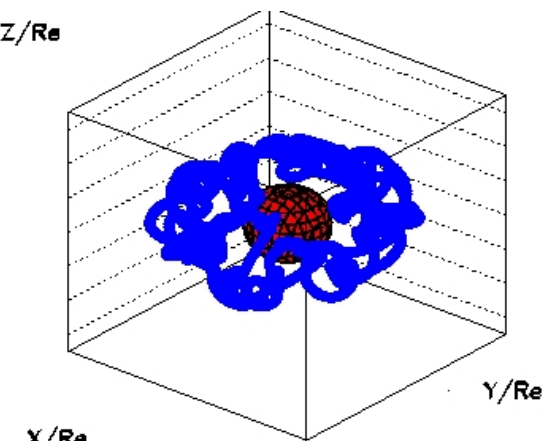
Mag. Flux Φ

Particles with the same **adiabatic invariants** (L, α_0) or (L, B_m) have same motion in the Earth's field

Adiabatic invariants in B fields: validity

Adiabatic approach is an approximate description and validity requires small changes during relevant motion periods

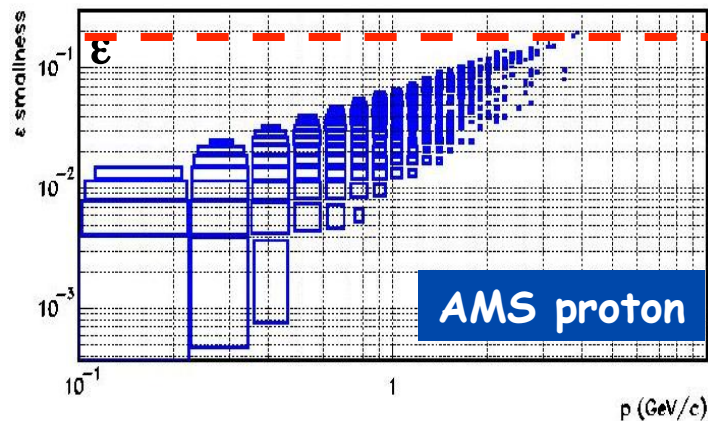
Validity of AI requires time scale for gyration, bouncing and drifting to be well separated by a smallness parameter $1/\epsilon(\mathbf{p}) = 1/(\rho_{eq}/R_{eq}) \gg 1$ with ρ and R Larmor and field line curvature at equ and momentum p .



This leads to a limit in P for AI description

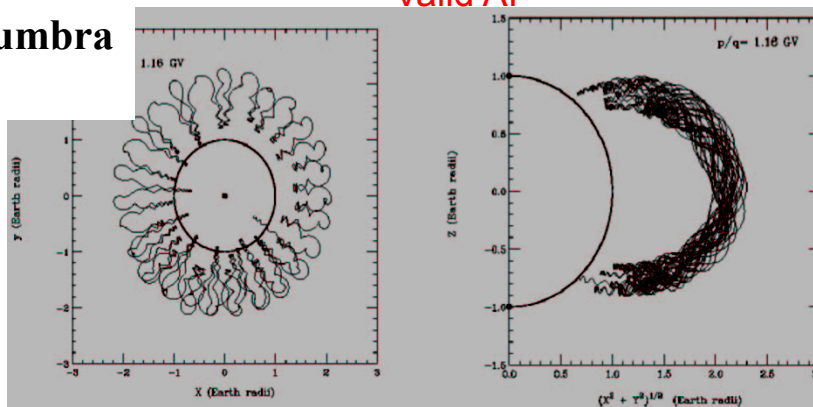
In a dipole field can be shown (Shultz, 1974)

$$p_{\max} = 10/L^2 \quad (\epsilon \leq 0.1 - 0.2)$$



If $\epsilon > \epsilon_{\max}$, motion becomes chaotic and AI are not conserved, like in penumbra regions

Valid AI



Motion frequencies

$$f_G \propto \frac{qB}{E} = 5K \div 1MHz$$

>>

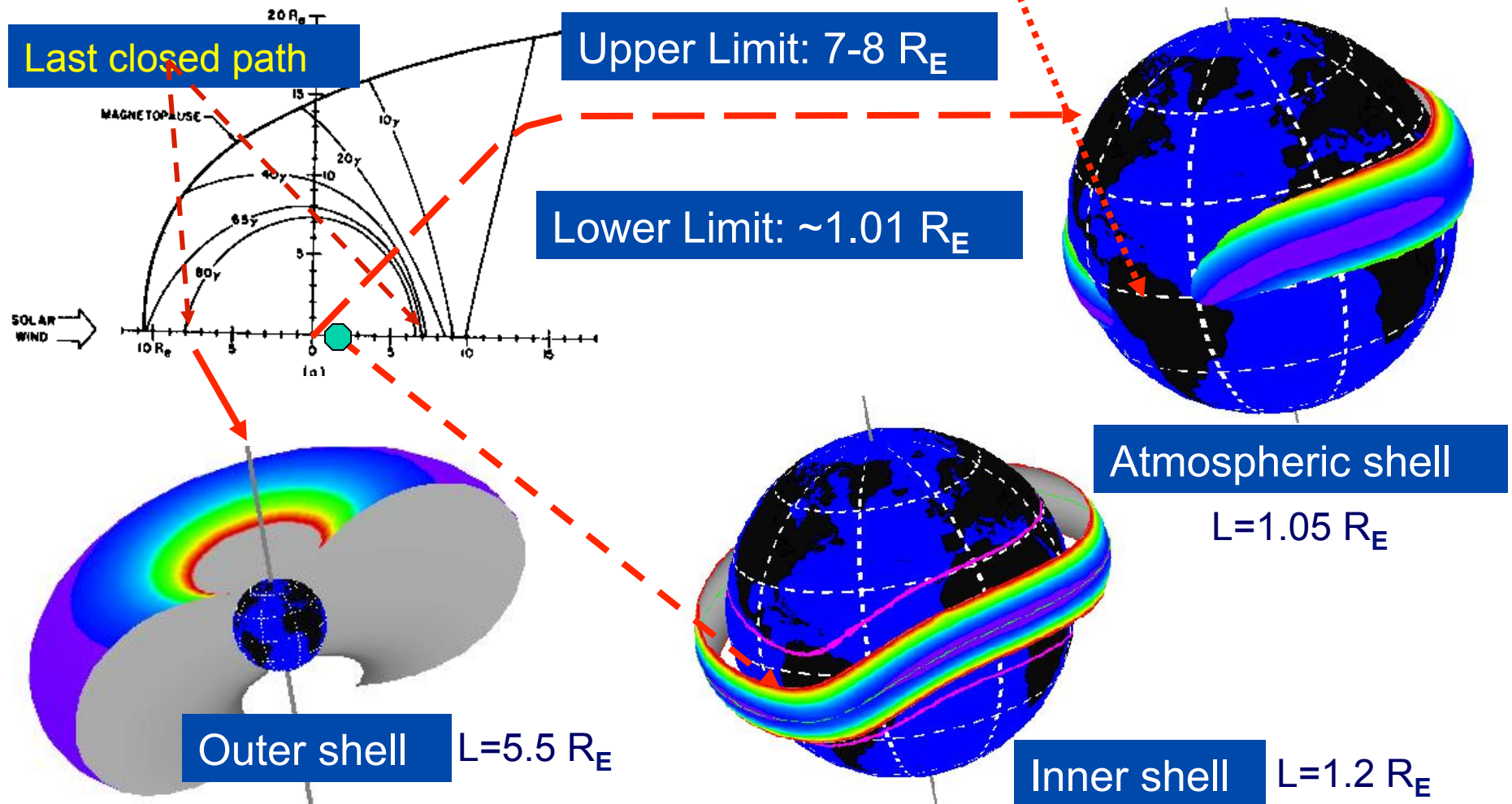
$$f_B \propto \frac{\beta \cdot g(\alpha_0, \vartheta_m)}{L} = 0.03 \div 30Hz$$

>>

$$f_D \propto \frac{E \cdot \beta^2 \cdot L}{h(\alpha_0, \vartheta_m)} \propto 2 \div 20mHz$$

The Radiation Belts (1)

The radiation belts are formed by all the drift shells envelopped from **last closed path** down to atmosphere limit where **shells intercept earth**



Bibliografia:

Roederer, Dynamics of geomagnetically trapped radiation, Springer-Verlag 1970,

Walt, Introduction to geomagnetically trapped radiation, University Press, Cambridge, 1994.

<http://www.spenvis.oma.be/spenvis/help/background/traprad/traprad.html>